

(227) 連鉄片バルジングに関する研究(2)

—バルジング挙動の解析—

三島光産

○前野重行

新日鐵第三技研

理博和田要工博伊藤幸良

〃第二技研

長野裕

1. 諸 言

前報の測定結果より、鉄型直下バルジングはクリープが支配的であることがわかった。以下に、鉄片のロール間バルジングをクリープによる梁の変形として解析し、実測値と対比した。

2. 計算方法および結果

従来、発表されている解析法は3種に大別される(Fig.1)。前報の引抜中の実測形状と対応するのは、Bの鉄片移動を考慮した動的、固定境界条件の解である。したがって、前報の試験結果と対比するための計算条件は以下のようにした。

- (1) 鉄片移動を考慮した動的梁モデル(クリープ物性の取扱いは府川らの方法に類似)
- (2) 固定境界条件(ただし、初期条件として歪速度ゼロ)。
- (3) 対象区間で溶鋼静圧、シェル厚、シェル内温度分布は一定。
- (4) シェル強度は固相線以下で生じ、シェル内温度分布は直線と仮定。
- (5) 短片の拘束の影響を考慮(形状係数は藤井らと同様)。

以下に解を示す。なお、(2)、(3)式は数値計算結果の整理式である。

$$\delta_d = A_0 \left(\frac{n}{v}\right)^n \left(\frac{p}{2}\right)^m \ell^{2m+n+2} I^{-m} \delta_d^* \quad \dots \dots \dots \quad (1)$$

$$\delta_d^* = 10^{-0.833m + 0.797n + 1.396} \quad \dots \dots \dots \quad (2)$$

$$I^{-m} = \alpha S^{-(2m+1)} T^\beta \quad \dots \dots \dots \quad (3)$$

δ_d : バルジング最大値(mm), A_0 : 形状係数, v : 鋳造速度(mm/sec)

n : クリープ式時間の指数, m : クリープ式応力の指数

p : 溶鋼静圧(kg/mm²), ℓ : ロールピッチ(mm), S : シェル厚

T : シェル表面温度(°C), α , β : 数値計算により求まる係数

上式を用いて計算した結果と実測値を対比してFig.2に示す。シェル表面温度は放射温度計による測定値を、固相線温度までのシェル厚は、鋳型測温のデータをもとに有限要素法による凝固計算で推定した値を用いた。また、クリープ物性値は、Palmersの高温クリープ試験結果⁽³⁾(0.19% C鋼, 1250 ~ 1300°C)を用いた。バルジング量実測値と計算値はほぼ一致している。シェル厚の鋼種間差異を凝固計算で考慮することで、鋼種によるバルジングの差異はみられなくなる。したがって、前報の0.09%C鋼が大きなバルジングを示した主因は不均一凝固により、シェル厚が薄くなっていたためといえる。

3. 結 言

本試験でのバルジング測定結果は、上記条件のもとでクリープによる梁の変形としてとらえることができることを示した。

文献 (1) 府川ら: 鉄と鋼, 68(1981) 7, P794

(2) 藤井ら: 鉄と鋼, 62(1976) 14, P1813

(3) A. Palmers : C.R.M., 53(1978) P23

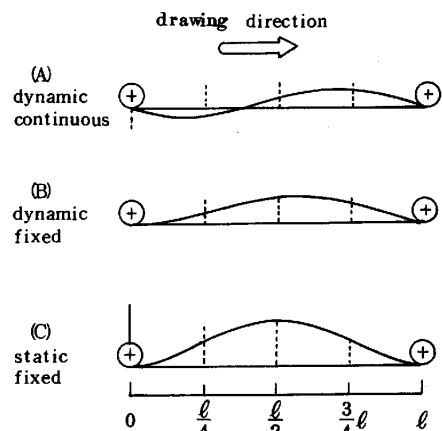


Fig. 1 Calculated profile of bulging caused by creep

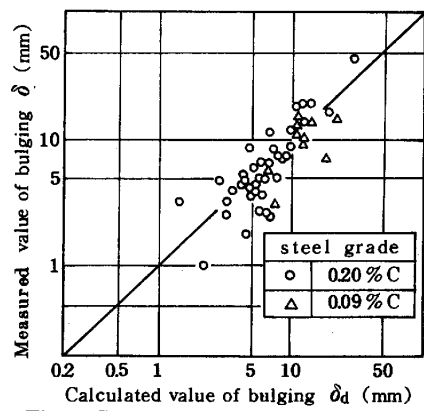


Fig. 2 Comparison of the measured values with the calculated values of bulging